

(76) プレストレス鉄筋コンクリート合成梁の曲げ性状

大阪大学大学院 ○南 宏明
 大阪大学教授 正会員 大野 義照
 大阪大学大学院 尚 自端
 大末建設(株) 技術開発部 李 振宝

1.はじめに

プレストレス鉄筋コンクリート (PRC) や鉄筋コンクリート (RC) の梁や床版において施工の合理化、省資源、品質の向上の観点から部材断面の一部をプレキャスト化し、残りの部分を現場で打設するハーフプレキャスト工法が普及してきている。このようなハーフプレキャスト工法は従来からプレストレスコンクリート(PC)合成床版に用いられている。そこではひび割れの発生は想定されておらず¹⁾、常時荷重下での応力度はプレキャストコンクリート (PCa) 単体時の応力度に合成断面後に作用する荷重による応力度を加えることによって簡単に求めることができる。また RC 合成梁においては施工時には PCa 単体を支保工で支え、一体打梁と同じように合成梁の完成後に応力が生じるようにしている。

本研究では、この種の部材の使用範囲を広げる目的で、施工時荷重下で PCa 単体にひび割れが生じるような荷重を受ける PRC および RC 合成部材²⁾を対象とし、プレストレスの有無、PCa 単体時に作用する荷重の大きさ、PCa 単体断面のせいを要因に持続載荷実験を行った。

2.実験概要

2.1 試験体の種類及び載荷方法

試験体の種類を表-1 に示す。

実験要因はプレストレスの有無、全荷重 P に対する PCa 単体に載荷される荷重 P_1 の割合及び PCa 単体のせいである。試験体の形状及び持続載荷方法を図-1 に示す。PCa 単体にはコンクリート材齢

試験体	持続荷重 P ($10^4 N$)	Pに対する割合 (%)		断面高さ(cm) 幅: 16cm		プレストレス力 (kN)
		P1	P2	PCa	後打	
No.1	4.4	0	100	25	7	0
No.2		50	50	25	7	0
No.3		50	50	25	7	48
No.4		30	70	18	14	0
No.5		50	50	18	14	48

注: $P=P_1+P_2$
 P_1 : PCa 単体時の載荷荷重, P_2 : 合成梁の載荷荷重

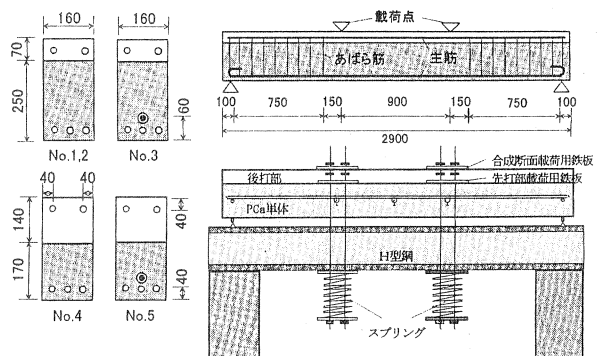


図-1 試験体の形状及び持続載荷方法

22 日に施工荷重を想定した P_1 を載荷した。 P_1 を載荷した後、プレキャストコンクリートの材齢 43 日に後打コンクリートを打設した。後打コンクリートの材齢 22 日 (プレキャストコンクリートの材齢 65 日) に荷重 P_2 (持続荷重 $P - P_1$) を載荷した。NO.3, NO.5 のプレストレスの導入は、荷重 P_1 の載荷直前に行った。プレストレスの導入はポストテンション方式であり、導入したプレストレス力 48kN は PC 鋼棒 $\phi 9$ 一本の許容値で、PCa 単体の平均プレストレスは 1.2MPa (No.3), 1.7MPa (No.5) である。持続荷重 $4.4 \times 10^4 N$ は、鉄筋の長期許容応力度 (200MPa) から定まる NO.1 の許容荷重である。

2.2 使用材料

プレキャストコンクリートおよび後打ちコンクリートには、それぞれ目標強度 40MPa と 24MPa のコンクリートを用いた。表-2 にコンクリートの力学的性質を示す。主筋には SD495-X ふしの D13 を、PC 鋼棒には C 種の $\phi 9$ を、スターラップには D10 を用いた。なおスターラップは支点から中央スパンわたり 750mm の区間に 150mm 間隔で配筋し、等曲げ区間には配筋していない。

表-2 コンクリートの力学的性質

項目	PCa		後打	
材齢(日)	22	157	22	114
圧縮強度 f_c (MPa)	37.8	39.1	21.4	24.6
割裂強度 f_t (MPa)	2.5	3.0	1.7	2.0
ヤング係数 $E_c(10^4 \text{ MPa})$	2.5	2.8	2.0	1.9

2.3 測定項目

鉄筋のひずみは検長 2mm の箔ストレインゲージで、たわみは中央及び載荷点位置の計 3ヶ所においてダイヤルゲージで測定した。ひび割れ幅は引張鉄筋高さ位置において検長 6cm のコンタクトストレインゲージ（以下 C.S.G と略記）で、圧縮側コンクリートのひずみは圧縮縁から 1cm 下の両側面において検長 10cm の C.S.G で測定した。なお、コンクリートの乾燥収縮は梁断面と同じ断面の角柱試験体で、クリープは $10 \times 10 \times 10$ (cm)断面の角柱試験体を用いて測定した。クリープ試験体の持続圧縮応力は 6MPa である。図-2 及び図-3 にそれぞれ乾燥収縮ひずみ $Sh(t)$ 及びクリープ係数 $\phi(t)$ の経時変化を示す。図中の曲線は最小 2 乗法によって求めた近似曲線である。

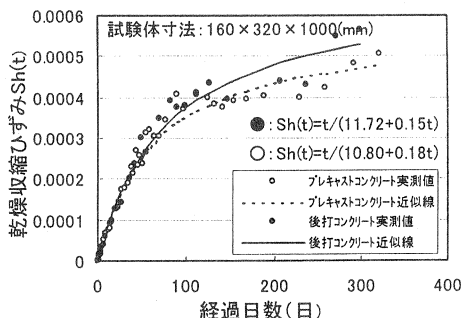


図-2 乾燥収縮ひずみの経時変化

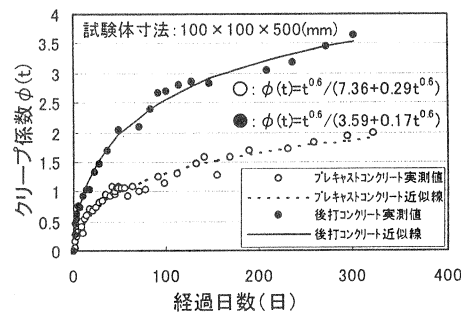


図-3 クリープ係数の経時変化

3. 初載荷時の結果及び考察

3.1 ひび割れ荷重とひび割れ状況

ひび割れ荷重を表-3 に示す。試験体 No. 1 を除き、PCa 単体に P1 を載荷している。P1 載荷時に試験体 No. 2, 4, 5 にはひび割れが生じ、試験体 No. 3 はプレストレスの効果でひび割れは生じていない。合成梁に P2 を載荷し、持続荷重 P の載荷完了時では全ての試験体にひび割れが生じた。合成梁として持続荷重 P を載荷した時点のひび割れ状況を図-4 に示す。P1 を載荷していない試験体 No. 1 のひび割れは、一体打ちの梁のように梁せいの $3/4$ の高さまで進展している。一方、他の合成梁では、ひび割れの高さはすべて PCa 単体の部分におさまっている。これは後述の応力ひずみ分布からも分かるように、PCa 単体時に P1 が載荷されることにより、P2 載荷後も PCa 単体の上部に圧縮応力が残存し、ひび割れの上部への進展が

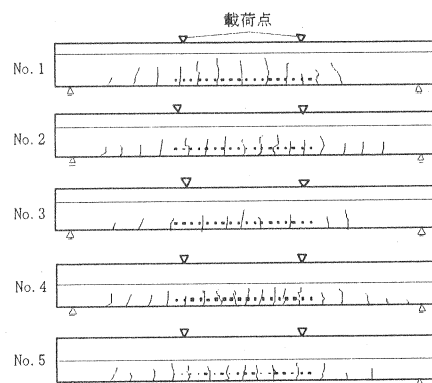


図-4 ひび割れ状況

制御されることによる。等曲げスパン内のひび割れ高さと平均ひび割れ間隔も表-3に示している。平均ひび割れ間隔の実測値は建築学会「PRC 指針」⁵⁾の解説の式による計算値と同程度ないしより小さく、何れの試験体においても新たなひび割れが生じないひび割れ定常状態に至っていることが分かる。特No.4,5のひび割れ間隔が他の試験体より狭いのはPca単体のせいが小さく、曲げの効果⁶⁾によるものと考えられる。

3.2 初期平均鉄筋ひずみと断面ひずみ分布

P1およびP2載荷時の引張鉄筋ひずみと荷重との関係を図-5に示す。ただし、P1の持続載荷中(材齢22~65日)のひずみ増加分は除いている。P1載荷時にはPca単体のせいの小さいNo.4,5のひずみ増加量が大きい。P2載荷時においてはひび割れ発生後に剛性が低下した試験体No.1に比べ、P1を載荷していた試験体No.2~5のひずみ増加量が小さい。No.3はプレストレスによるひび割れ荷重の増大に起因する。P1載荷時に既にひび割れが生じていたNo.2,4,5においてもひずみ増加量が小さい。これは次に述べるようにP1の載荷によってPca単体の上部に圧縮応力が残存し、そのことにより圧縮有効断面積が大きくなり、曲げ剛性が大きくなっていることによると考えられる。

載荷完了後即ち持続載荷開始時の等曲げ区間における断面のひずみ分布を図-6に示す。ただし、P1の持続載荷中(材齢22~65日)のひずみ増加分は除いている。実線は実測値で、点線は既に提案した荷重の履歴を考慮する合成断面の応力解析法²⁾による計算値である。P1を載荷した試験体の圧縮縁ひずみはP1を載荷していないNo.1より約50%低減されている。また、断面ひずみ分布を見るとPca単体に施工時荷重(P1)を受けた試験体断面の中立軸がNo.1のそれより低くなっている。これは先に載荷したP1によってPca単体の上部は圧縮応力を受けていることによる。

表-3 ひび割れ荷重Pcr, 等曲げスパンの平均ひび割れ間隔lavとひび割れ高さHcr

試験体	Pcr(10^4 N)		lav(mm)		Hcr (mm)
	実験値	計算値	実験値	計算値	
No.1	2.2	2.4	135		220
No.2	1.2	1.5	148		190
No.3	4.0	3.9	138		120
No.4	0.6	0.77	114		100
No.5	1.0	1.2	118		90

注:Pcr=Mcr/450, Mcr=(σb + σp)×Z
 $\sigma_b=4.41 \text{ MPa}$, σ_p :引張縁のプレストレス, Z:断面係数

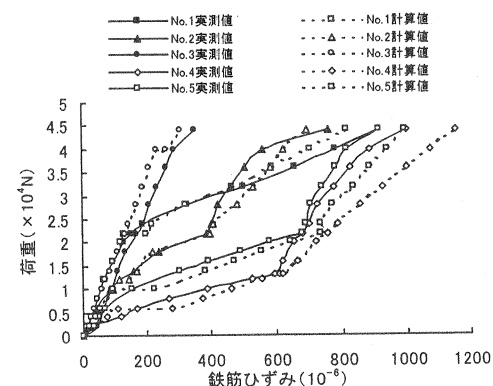


図-5 初期鉄筋ひずみ

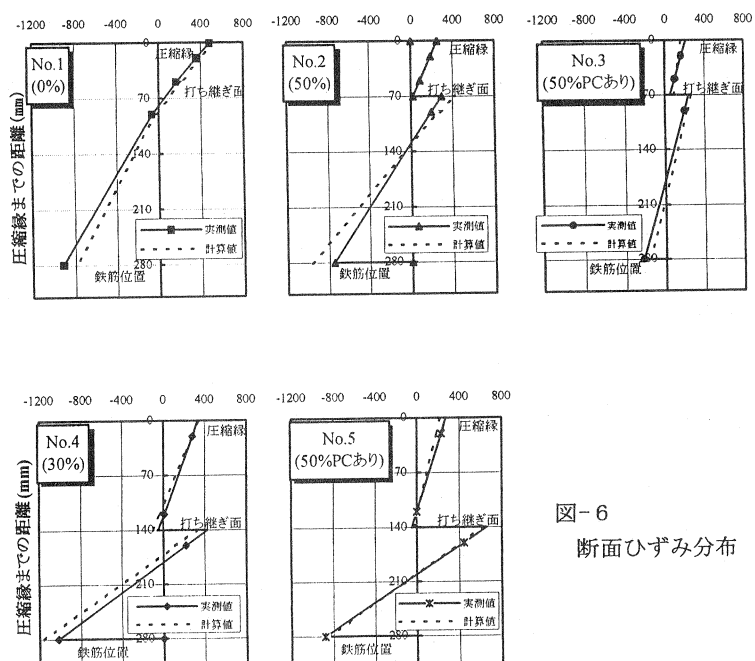


図-6
断面ひずみ分布

3.3 初期ひび割れ幅

P1 および P2 載荷時の等曲げスパン内における平均ひび割れ幅と荷重の関係を図-7 に示す。P1 載荷から P2 載荷までの間に、P1 載荷時にひび割れが生じていた試験体 No. 2, 4, 5 ではひび割れ間コンクリートの乾燥収縮等によってひび割れ幅が増大している。P2 載荷時には前述のように試験体 No. 2, 4, 5 の鉄筋ひずみの増加量が小さいことからひび割れ幅の増加量が少ない。特に試験体 No. 4, 5 はひび割れ間隔が小さいことから、載荷完了時（持続載荷開始時）の幅は試験体 No. 1, 2 よりも小さくなっている。試験体 No. 3 はプレストレスの効果により、他の試験体に比べてひび割れ幅が小さくなっている。表-4 に初期ひび割れ幅の実測値と PRG 指針解説式による計算値を示す。表中の P2 載荷完了時の値は P1 持続載荷中の増分を除いた値である。試験体 No. 4, 5 においては前述のようにひび割れ間隔が狭いことから実測値は計算値より小さい。

3.4 初期たわみ

等曲げスパンたわみと荷重の関係を図-8 に示す。P1 載荷時には PCa 単体のせいが小さい試験体 No. 4, 5 のたわみが大きい。P1 を載荷してから P2 載荷までの間では、鉄筋ひずみが減少したひび割れのない試験体 No. 3 も含め、P1 を載荷した全試験体において圧縮コンクリートひずみが増加するのでたわみは増加している。P2 載荷時には、ひび割れ荷重の大きい試験体 No. 3 の曲げ剛性が最も大きく、次ぎに PCa 単体のせいが小さい試験体 No. 4, 5、単体のせいが大きい試験体 No. 2 の順で、P1 を載荷した試験体の方が P1 を載荷していない試験体 No. 1 より曲げ剛性が大きい。一方、載荷完了時のたわみはひび割れと異なって、P1 載荷時のたわみが大きい試験体 No. 4, 5 が大きい。表-5 に初期たわみの実測値と計算値を示す。たわみの計算値は ACI コード 318 の有効断面 2 次モーメント I_e を用いて算出した曲率 ϕ より求めた（等曲げスパンたわみ $\delta = \phi l^2/8$, l : 等曲げスパン, 900mm）。なお、ひび割れ幅と同様に P1 持続載荷中の増分を除いている。計算値は実測値をほぼ捉えている。

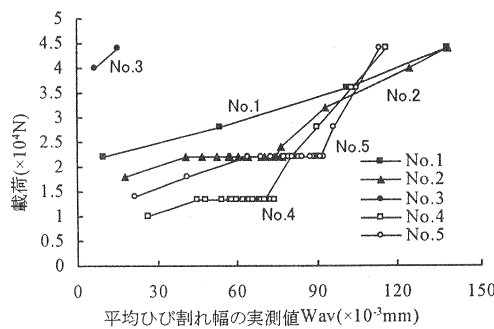


図-7 平均ひび割れ幅

表-4 初期平均ひび割れ幅の実測値と計算値(10^{-3}mm)

試験体	P1載荷完了時		P2載荷完了時	
	実測値	計算値	実測値	計算値
No.1	-	-	138	111
No.2	41	54	138	94.2
No.3	-	-	15.5	41.6
No.4	45	83	116	156
No.5	64	100	114	135

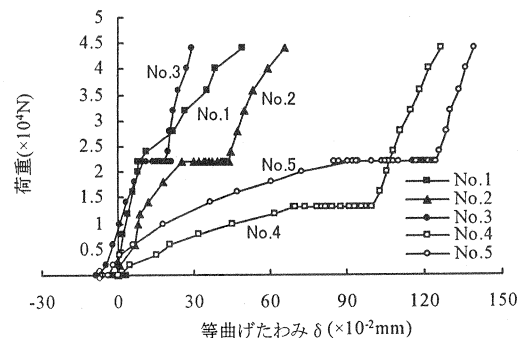


図-8 初期たわみ

表-5 初期たわみの実測値と計算値(10^{-2}mm)

試験体	P1載荷完了時		P2載荷完了時	
	実測値	計算値	実測値	計算値
No.1	-	-	49	50
No.2	25	35	47.2	63
No.3	10	9.5	21.7	30
No.4	70	71	96	92
No.5	95	96	107	117

4. 持続載荷実験の結果及び考察

4. 1 圧縮縁ひずみと鉄筋ひずみ

持続載荷 300 日間の圧縮縁ひずみ及び鉄筋ひずみの経時変化をそれぞれ図-9 および図-10 に示す。図中の太線は荷重の履歴を考慮した計算値である。

図-9 によると圧縮側のひずみは時間経過と共にコンクリートの乾燥収縮及びクリープによって徐々に増大している。全体に圧縮縁の長期ひずみは P1 を載荷した試験体の方が、図-6 に示したように初載荷時のひずみが小さいことから小さく、持続載荷 300 日における No. 2 の圧縮縁ひずみは P1 を載荷していない No. 1 より約 25% 小さくなっている。PCa 単体せいの影響については、PCa 単体のせいが小さい No. 4, No. 5 の長期圧縮縁ひずみはせいが大きい他の試験体に比べて 20%ほど大きくなる。試験体 No. 2 と No. 3 の比較により、プレストレスの導入によって圧縮縁の長期ひずみは若干小さくなっているがその効果は小さいことがわかる。

図-10 によると、鉄筋ひずみは圧縮側コンクリートのクリープ及び鉄筋とコンクリート間の付着クリープによって、時間とともに増大している。No. 3 ではプレストレスによって、鉄筋ひずみは他の試験体より大きく低減されている。一方、No. 5 もプレストレスが導入されているが、P1 載荷中にひび割れが発生していたので、鉄筋ひずみは No. 3 よりかなり大きくなっている。

4. 2 長期ひび割れ幅

図-11 に長期ひび割れ幅の経時変化を示す。P1 を載荷していない No. 1 の増加量が最も大きいが、全試験体の持続載荷 300 日における長期ひび割れ幅の増加量は 0.013mm～0.061mm で、P1 載荷の長期ひび割れ幅の増加に及ぼす影響は認められない。なお、持続載荷中に新たにひび割れの発生はなかった。

4. 3 長期たわみ

持続載荷 300 日における長期等曲げたわみを図-12 に示す。全体に合成梁の長期たわみは圧縮側コンクリートのクリープと乾燥収縮によつ

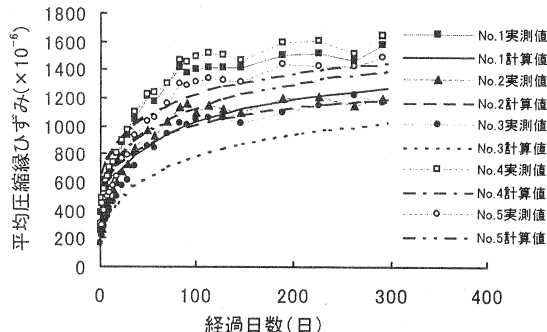


図-9 圧縮縁ひずみの経時変化

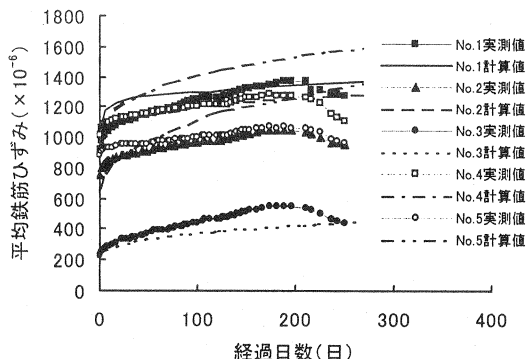


図-10 鉄筋ひずみの経時変化

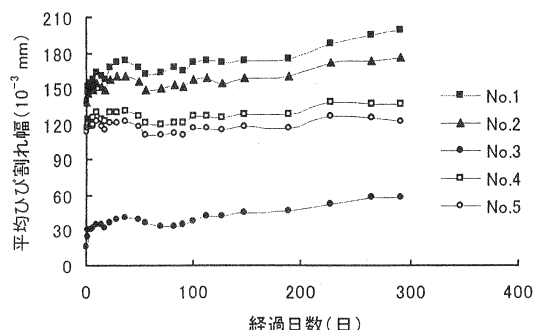


図-11 ひび割れ幅の経時変化

て徐々に増大している。初期たわみが大きいと長期たわみも大きくなっている。すなわち、No.5 のように PCa 単体せいが小さいと、プレストレスを導入しても同じ P1 に対して初期たわみは大きく、長期たわみも最も大きくなっている。また 25cm の同じ PCa 単体せいでは No.3 のようにプレストレスによって初期たわみは制御され、長期たわみも最も小さくなっている。図中の曲線は解析値で、曲率は前述の合成断面の応力計算から求めた。

表-6 に持続載荷 300 日の等曲げスパンの長期たわみ増加量を示す。同表から、P1 を載荷した試験体のたわみ増加量は、P1 を載荷していない試験体 No.1 よりいくらくか小さいこと、PCa 単体せいの大小の影響は少ないと、プレストレスによる制御効果もたわみ増加量に対しては小さいことなどがいえる。

5.まとめ

- 1) PRC や RC のプレキャストコンクリート単体にひび割れが生じるような施工時荷重を受けた合成梁では、PCa 単体断面の上部に圧縮応力が残存し、それによって合成断面のひび割れ断面における圧縮有効面積が広くなるので、残りの荷重に対する曲げ剛性は荷重履歴のない場合より大きい。
- 2) 1) の現象にあわせて、PCa 単体のせいが小さい方がひび割れ間隔が狭くなることにより、合成梁の設計荷重時のひび割れ幅は、PCa 単体にひび割れの生じた方が小さくなる場合もある。また、長期ひび割れ幅への PCa 単体時での載荷の影響は小さい。
- 3) 設計荷重時のたわみは、PCa 単体時に受ける荷重によるたわみが大きいので、PCa 単体時に荷重を受けた方が大きくなつた。しかし、長期たわみ増加量への PCa 単体時での載荷の影響はない。
- 4) プレストレスの導入によって合成梁の初期たわみやひび割れ幅は大幅に低減された。ただし、持続荷重下の長期たわみ及びひび割れ幅の増加量への低減効果は少なかつた。

参考文献

- 1) 建築学会：プレストレスコンクリート(PC)合成床板設計施工指針・同解説、1994.11
- 2) 李振宝、大野義照、鈴木計夫：パーシャリープレスストレスコンクリート合成断面の応力計算と略算法、プレストレス技術協会シンポジウム'94、1994.10
- 3) 尚自端、大野義照、李振宝：プレキャストコンクリート合成梁の持続載荷実験（その1）、日本建築学会1999年度大会（中国）学術講演便覧集、1999、9
- 4) 尚自端、大野義照、鈴木計夫、鳥居洋：高強度鉄筋を用いてプレストレスを導入した PRC 合成梁の長期曲げ性能、コンクリート工学年次論文報告集、Vol.20, No.3, 1998
- 5) プレスストレス鉄筋コンクリート（III種 PC）構造設計・施工指針・同解説
- 6) 鈴木計夫、大野義照、太田寛：RC 及び PRC スラブの曲げひび割れ算定式について、第37巻、PP. 458-462 昭和58年

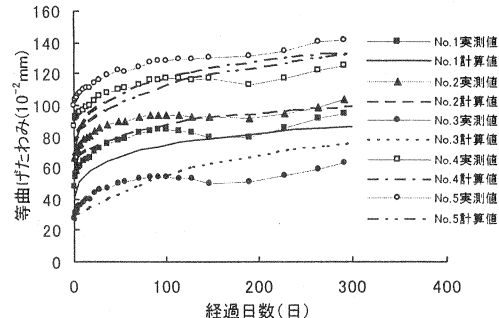


図-12 長期たわみ

表-6 持続載荷 300 日の長期たわみ増加量 (10^{-2}mm)

試験体	No.1	No.2	No.3	No.4	No.5
実測値	47	38	36	39	42
計算値	60	41	44	49	46